

$2^{2n-k} \times 2^k$ 토러스와 $HFN(n,n)$ 의 상호 임베딩

강민식*, 김종석*, 이형욱**, 허영남*

*순천대학교 컴퓨터학과

**순천대학교 컴퓨터교육과

e-mail : {blacksun,rockhee,oklee,hyn}@sunchon.ac.kr

Embedding Algorithms among $2^{2n-k} \times 2^k$ Torus and $HFN(n,n)$

Min-Sik Kang*, Jong-Seok Kim*, Hyeong-Ok Lee**, Yeong-nam Heo*

*Dept. of Computer Science, Sunchon National University

**Dept. of Computer Education, Sunchon National University

요 약

임베딩은 어떤 연결망이 다른 연결망 구조에 포함 혹은 어떻게 연관되어 있는지를 알아보기 위해 어떤 특정한 연결망을 다른 연결망에 사상하는 것으로, 특정한 연결망에서 사용하던 여러가지 알고리즘을 다른 연결망에서 효율적으로 이용할 수 있도록 한다. 본 논문에서는 $2^{2n-k} \times 2^k$ 토러스를 $HFN(n,n)$ 에 연결을 3, 밀집을 4 로 임베딩 가능성을 보이고, $HFN(n,n)$ 을 $2^{2n-k} \times 2^k$ 토러스에 연결을 $O(N)$ 으로 임베딩됨을 보인다($N=2^n$).

1. 서론

최근 다양한 연결망 구조에서 여러 가지 문제들을 풀기 위해 많은 병렬 알고리즘들이 설계되고 있는데 이러한 알고리즘들을 다른 연결망 구조에서 적은 비용으로 실행시킬 수 있는지는 병렬처리에서 중요한 문제가 되고 있다. 이러한 방법 중에서 널리 쓰이는 것에 임베딩이 있다. 그래프의 임베딩은 어떤 그래프 G 가 다른 그래프 H 에 포함 혹은 어떻게 연관되어 있는지를 알아보기 위해 어떤 그래프 G 를 다른 그래프 H 에 사상하는 것이다. G 의 H 에 대한 임베딩의 연결은 G 의 어떤 두 인접한 노드를 H 에 사상했을 때 사상된 H 의 두 노드사이의 최대 거리를 나타내며, 밀집율은 사상된 H 에서의 특정 에지의 최대 사용빈도를 나타낸다[1,7].

메쉬 구조는 평면 그래프로서 VLSI 회로 설계 같은 분야에서 많이 이용되는 구조로 현재까지 널리 이용되고 있으며 MPP(Goodyear Aerospace), MP-I (MASPAR), Victor(IBM), Paragon(Intel), T3D(Cray) 등에서 상용화 되어 있다[2]. 이러한 메쉬의 지름을 개선한 연결망 중 대표적인 연결망이 토러스인데 토러스는 메쉬의 행과 열들을 링형태를 띄게 한 wraparound 에지라고 불리는 에지를 추가하여 구성한 연결망이다[4].

하이퍼큐브는 노드 및 에지 대칭이고, 임베딩 관점

에 있어서 링, 트리, 메쉬 등과 같은 다른 연결망 구조들이 효율적으로 임베딩 될 수 있다는 장점이 있지만, 노드 개수의 증가에 따른 분지수의 증가로 인해 네트워크의 망비용이 증가하는 단점이 있다[5,6]. 이러한 단점을 개선하고자 하이퍼큐브의 장점을 가지면서 망비용을 개선한 folded hypercube[3]가 제안되었으며 folded hypercube[3]를 기본 모듈로 사용한 HFN (hierarchical folded-hypercube network)[9]이 나오게 되었다.

본 논문에서는 $2^{2n-k} \times 2^k$ 토러스를 $HFN(n,n)$ 에 연결을 3 과 밀집을 4 로 임베딩 가능성을 보인다. 본 논문의 구성은 다음과 같다. 2 장에서는 관련연구에 대하여 논하고 3 장에서는 $2^{2n-k} \times 2^k$ 토러스와 $HCN(n,n)$ 의 상호 임베딩을 보이며 4 장에서 결론을 맺는다.

2. 관련연구

본 논문에서는 $2^{2n-k} \times 2^k$ 토러스의 각 노드의 주소를 그레이코드를 이용하여 표현하겠다. 2^{2n-k} 는 행을 2^k 는 열을 나타낸다. 각 노드의 주소는 행의 주소 다음에 열의 주소를 연결하여 연속된 $2n$ 개의 비트스트링으로 표현한다.

그레이코드는 연속된 2 진수 사이에 오직 한 개의 비트만 변화하도록 하는 코딩 방식의 하나로 $G(i)$ 에

대하여 $0 \leq i \leq 2^n - 1$ 일 때 $G(0), G(1), G(2), \dots, G(2^n - 1)$ 까지의 2^n 개의 코드들은 정확히 한 개의 비트만 변화된 n -bit 순차이며 순환적인 방법으로 확장될 수 있다. $G(0), G(1), G(2), \dots, G(2^n - 1)$ 이 n 비트 그레이코드를 구성한다면 $0G(0), 0G(1), 0G(2), \dots, 0G(2^n - 1), 1G(2^n - 1), \dots, 1G(2), 1G(1), 1G(0)$ 과 같이 $n+1$ 비트 그레이코드를 구성할 수 있다. 예를 들면 2bit 그레이코드인 00, 01, 11, 10 이고 확장된 3bit 그레이코드는 0(00), 0(01), 0(11), 0(10), 1(10), 1(11), 1(01), 1(00) 이다[9].

2.1 토러스

낮은 차원의 메시는 설계하기 쉽고 알고리즘 관점에서 매우 유용하므로 병렬처리 컴퓨터의 연결망으로 많이 쓰이고 있으며, 높은 차원의 메시일수록 지름이 작아지고 여러 가지 병렬 알고리즘을 빨리 수행할 수 있지만, 비용이 많이 드는 단점이 있다. 이러한 메시의 지름을 개선한 연결망으로 토러스가 있다.

토러스는 메시의 행과 열들을 링형태를 띄게한 wraparound 에지라고 불러주는 에지를 추가하여 구성된 연결망이다. $k \times n$ 으로 표현되는 토러스는 $k \times n$ 개의 노드와 $2kn$ 개의 에지로 구성되며, 분지수는 4, 지름은 $\lfloor \frac{k}{2} \rfloor + \lfloor \frac{n}{2} \rfloor$ 이다.

본 논문에서는 $2^{2n-k} \times 2^k$ 토러스 T 의 노드를 $(t_1 t_2 \dots t_n t_{n+1} t_{n+2} \dots t_{2n})$ 와 같은 연속된 $2n$ 개의 비트스트링으로 표현하고, 1 부터 n 번째 까지 비트스트링이 같은 노드들을 하나의 그룹으로 설정하겠다. 예를 들어 $n=3$ 이고 $k=2$ 인 $2^4 \times 2^2$ 토러스에서는 한 노드의 주소 길이가 6 이며 000, 001, 011, 010, 110, 111, 101, 100 의 2^3 개의 그룹으로 나눌 수가 있다. 그림 1 은 $2^4 \times 2^2$ 토러스의 각 노드 주소를 그레이코드로 표현 하였고 처음 3 비트가 같은 노드들의 그룹을 분류하였다.

연결된 $n+2$ 개의 에지를 갖는다. (I/O 채널은 $n+1$ 개의 에지를 갖는다.)

I 는 기본 모듈을 인식하고, J 는 기본 모듈 내의 노드를 인식한다. 기본 모듈 안의 에지들은 내부 에지라고 말한다. 두 개의 기본 모듈사이의 에지들은 외부 에지라고 한다. 외부에지들은 두 노드가 각각 (I, J) 와 (J, I) 로 구성되어 있을 때 생성 된다. $HFN(n, n)$ 은 2^{2n} 의 노드와 $(n+2) 2^{2n-1} - 2^{n-1}$ 개의 에지로 구성되며 분지수는 $n+2$ (I/O 채널의 degree 는 $n+1$)이다.

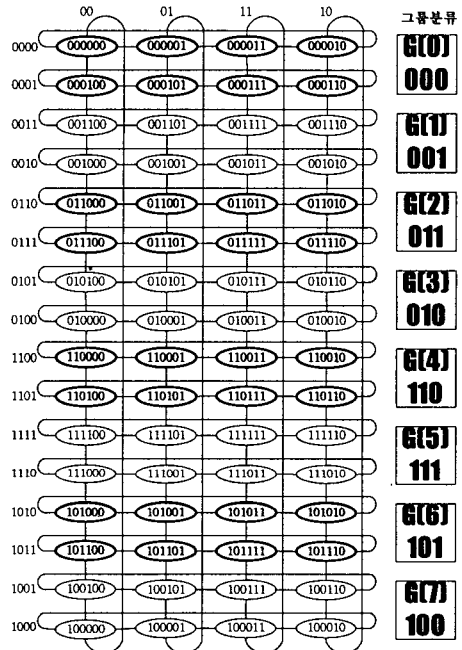


그림 1. $2^4 \times 2^2$ 토러스

2.2 HFN(n, n)

하이퍼큐브는 2^n 개의 노드와 $n2^{n-1}$ 개의 에지로 구성된다. 각 노드의 주소는 n 비트 이진수로 표현될 수 있고, 임의의 두 노드의 주소가 정확히 1 비트만 다를 때 그들 사이에 에지가 존재하며, 분지수와 지름이 각각 n 이고, 망비용은 n^2 이다. 이러한 하이퍼큐브는 노드 및 에지 대칭성을 갖고, 간단한 라우팅 알고리즘, 최대 고장 허용도 및 재귀적 구조를 갖지만, 노드 개수의 증가에 따른 분지수의 증가로 인해 네트워크의 망비용이 증가하는 단점이 있다. 이러한 단점을 극복하고자 하이퍼큐브의 노드중 서로 보수관계인 노드에 에지를 추가하여 망비용을 개선한 상호연결망인 foled hypercube[3]가 제안되었으며 2^n 개의 노드와 $(n+1)2^{n-1}$ 개의 에지로 구성된다. 분지수는 $n+1$ 이며 지름과 망비용이 하이퍼큐브의 절반 정도이다. $HFN(n, n)$ 은 foled hypercube[3]를 기본 모듈로 사용하고 2^n 개의 기본 모듈로 구성되어 있고 각 노드는 (I, J) 와 같이 두개의 주소로 구성이 되며, 각 노드는 각각에

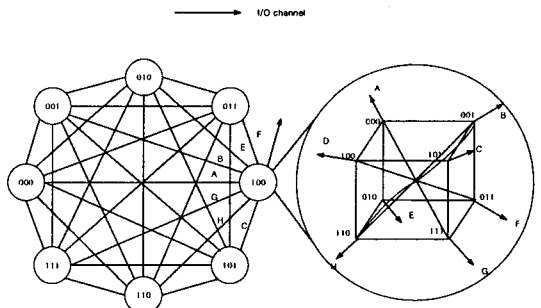


그림 2. HFN(3,3)

3. $2^{2n-k} \times 2^k$ 토러스와 HFN(n, n)의 상호 임베딩

본 논문에서의 임베딩 개요는 다음과 같다. $2^{2n-k} \times 2^k$ 토러스의 하나의 그룹은 HFN(n, n)의 하나의 모듈로 대응되고, 그룹과 그룹을 연결하는 에지의 두 노드가

사상된 $HFN(n, n)$ 의 두 노드를 연결하는 에지의 수로 연장율을 분석하고, 특정 에지의 최대 사용빈도를 통하여 밀집율을 분석한다..

정리 1 . $2^{2n-k} \times 2^k$ 토러스는 $HFN(n, n)$ 에 연장율 3 과 밀집율 4 로 임베딩 될수 있다.

증명 . n 비트 그레이코드 구성은 $G(i)$ 가 $0 \leq i \leq 2^n - 1$ 일때 $G(0), G(1), G(2), \dots, G(2^n - 1)$ 과 같이 표현할수 있다[9] . 이와 같은 표현법을 이용하여 $2^{2n-k} \times 2^k$ 토러스 $\mathcal{T}(t_1 t_2 \dots t_n t_{n+1} t_{n+2} \dots t_{2n})$ 의 비트스트링에서 1 부터 n 번째 까지 비트스트링이 같은 노드들인 $t_1 t_2 \dots t_n$ 을 그룹으로 분류하여 $G(J)$ 라 하고, 그룹 내부의 $t_{n+1} t_{n+2} \dots t_{2n}$ 비트스트링은 $G(J)$ 로 각각 구분하여 표기할수 있다. 따라서 $2^{2n-k} \times 2^k$ 토러스의 임의의 노드 $\mathcal{T}(t_1 t_2 \dots t_n t_{n+1} t_{n+2} \dots t_{2n})$ 는 그림 3 과 같이 $\mathcal{T}(G(J)G(J))$ 와 같이 표현할수 있다($0 \leq J \leq 2^n - 1, 0 \leq J \leq 2^n - 1$). 또한 $HFN(n, n)$ 의 임의의 노드 S 는 HFN 의 정의에 의해 $S(G(J), G(J))$ 라 표현 할수 있다($0 \leq J \leq 2^n - 1, 0 \leq J \leq 2^n - 1$).

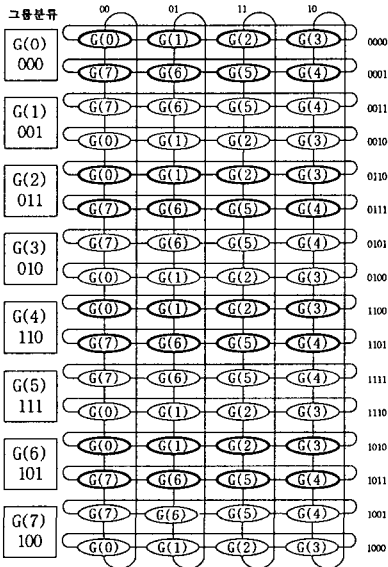


그림 3. $2^4 \times 2^2$ 토러스

토러스를 $HFN(n, n)$ 에 임베딩 했을때의 경우를 아래와 같이 나누어서 각각의 연장율을 분석하겠다.

경우 1. ($\mathcal{T}(G(J)G(J)), \mathcal{T}(G(J)G(J+1))$) 일 때 : $2^{2n-k} \times 2^k$ 토러스에서 두 노드는 같은 그룹 안에서 에지가 존재하는 경우이며 또한 1비트 다른 그레이코드로 연결되어 있는 노드들임을 알수 있다. 따라서 HFN 의 정의에 의해 $HFN(n, n)$ 의 동일한 모듈 내부에 있는 노드임을 알수 있고, 서로 인접한 노드이므로 연장율 1 에 임베딩 가능함을 알수 있다.

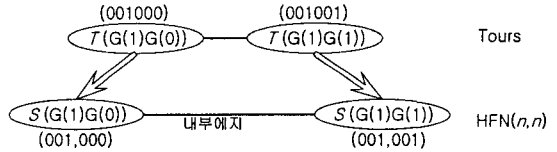


그림 4. 경우 1 의 예

경우 2. ($\mathcal{T}(G(J)G(J)), \mathcal{T}(G(J+1)G(J))$) 일 때 : $2^{2n-k} \times 2^k$ 토러스에서 두 노드는 서로 다른 그룹안에 존재하는 노드들로 $HFN(n, n)$ 에 임베딩 했을 때 지나가는 노드의 경로는 $S(G(J), G(J)) \rightarrow S(G(J), G(J+1)) \rightarrow S(G(J+1), G(J))$ 와 같은 경로로 연결 되므로 연장율 3 에 임베딩 가능함을 알수 있다.

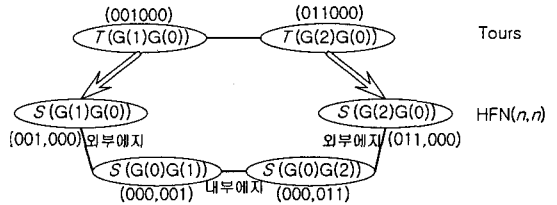


그림 5. 경우 2 의 예

경우 2.1 경우 2 에서 $G(J)=G(J)$ 일 때 : 두 노드는 $S(G(J), G(J)) \rightarrow S(G(J), G(J+1)) \rightarrow S(G(J+1), G(J)) (=S(G(J+1), G(J)))$ 와 같은 경로로 연결 되거나 $S(G(J), G(J)) \rightarrow S(G(J), G(J)) \rightarrow S(G(J), G(J+1)) (=S(G(J+1), G(J)))$ 와 같은 경로로 연결이 되므로 연장율 2 에 임베딩 가능함을 알수 있다.

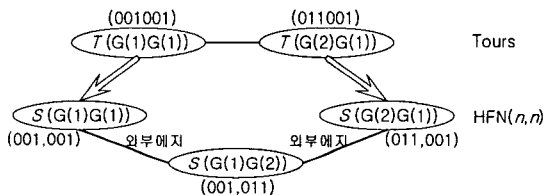


그림 6. 경우 2.1 의 예

이상의 경우에서 증명한 바와 같이 토러스를 $HFN(n, n)$ 에 임베딩하기 위해 필요한 연장율은 3 이하 이다.

다음으로 임베딩된 $HFN(n, n)$ 의 에지 e 를 아래와 같은 경우로 나누어서 각 에지 e 가 사용된 빈도수에 의해 밀집율을 분석하겠다.

경우 1. 에지 e 에 연결된 두 노드가 같은 모듈안에 있으며 서로 보수 일때 : 위의 연장율의 증명에서 연결되는 경로를 보면 보수인 두 노드를 연결하는 에지는 존재하지 않는다. 그러므로 에지 e 는 밀집율이 0 이다.

경우 2. 에지 e 가 ($S(G(J), G(J)), S(G(J), G(J+1))$) 일

때 e 는 같은 모듈안에 있으며 각각 1-bit 다른 노드들을 연결하는 내부 에지이다. 토러스의 하나의 그룹이 $HFN(n, n)$ 내의 하나의 모듈로 임베딩 되기 때문에 내부 에지의 밀집율이 1 이하임을 알수 있다.

경우 3. 에지 e 가 $(S(G(I), G(J)), S(G(J), G(I)))$ 일 때 : e 는 서로 다른 모듈에 속해 있는 두 노드를 연결하는 외부 에지이다.

토러스의 두 노드 $(\pi(G(I), G(J)), \pi(G(I+1), G(J)))$ 를 HFN 으로 임베딩했을 때 e 가 몇번 사용되었는지를 분석 함으로써 밀집율을 알수있다. 이는 토러스에서 다음과 같이 노드를 설정함으로써 알수 있다.

- 1) $(\pi(G(I-1), G(J)), \pi(G(I), G(J)))$
- 2) $(\pi(G(I+1), G(J)), \pi(G(I), G(J)))$
- 3) $(\pi(G(I-1), G(I)), \pi(G(I), G(I)))$
- 4) $(\pi(G(I+1), G(I)), \pi(G(I), G(I)))$

이와 같은 노드를 HFN 에 사상하면 e 를 포함하는 경로는 최대 4개가 존재 함을 알수 있으며 이 4개의 경로는 다음과 같다.

- 1) $S(G(I), G(J)) \rightarrow S(G(J), G(I)) \rightarrow S(G(I), G(J)) \xrightarrow{e} S(G(J), G(I))$
- 2) $S(G(I+1), G(J)) \rightarrow S(G(I), G(I+1)) \rightarrow S(G(I), G(J)) \xrightarrow{e} S(G(J), G(I))$
- 3) $S(G(I-1), G(J)) \rightarrow S(G(I), G(I-1)) \rightarrow S(G(I), G(J)) \xrightarrow{e} S(G(J), G(I))$
- 4) $S(G(I+1), G(J)) \rightarrow S(G(I), G(I+1)) \rightarrow S(G(I), G(J)) \xrightarrow{e} S(G(J), G(I))$

와 같이 설정할 수 있으며 이러한 결과로 밀집율은 4임을 알수 있다.

정리 2. $HFN(n, n)$ 는 $2^{2n-k} \times 2^k$ 토러스에 연장을 $\alpha(N)$ 으로 임베딩 할 수 있다($k \neq 2^n$).

증명. $HFN(n, n)$ 의 임의의 노드 S 는 $S(G(I), G(J))$ 으로 표현 하고, $2^{2n-k} \times 2^k$ 토러스의 노드 T 는 $\pi(G(I)G(J))$ 으로 표현 하겠다($0 \leq I \leq 2^n-1, 0 \leq J \leq 2^n-1$).

$HFN(n, n)$ 의 노드 $S(G(I), G(J)), S(G(J), G(I))$ 와 같은 인접한 외부 에지들을 토러스로 사상했을 때 사상된 토러스에서의 두 노드사이의 최대 거리를 통하여 각각의 연장을 살펴보겠다.

$2^{2n-k} \times 2^k$ 토러스의 인접한 두 노드는 1 비트 다른 노드로 연결이 되어있으며 두 노드의 거리가 최대가 될 경우는 토러스의 정의에 따라 두 노드의 행과 열의 거리가 각각 $|x_1 - x_2|, |y_1 - y_2|$ 가 될 때 이다. 다시 말해서 $G(0)$ 부터 $G(2^n-1)$ 까지의 비트스트링으로 구성된 $2^{2n-k} \times 2^k$ 토러스에서 I, J, I', J' 가 0 부터 2^n-1 까지인 임의의 두 노드를 $\pi(G(I)G(J))$ 와 $\pi(G(I')G(J'))$ 라 했을 때 두 노드의 행과 열에서 $|\pi(G(I)) - \pi(G(I'))|$ 와 $|\pi(G(J)) - \pi(G(J'))|$ 의 값이 각각 $G(2^{n-1})$ 일때 최대 거리를 갖는다($I \neq I', J \neq J'$).

$HFN(n, n)$ 의 $S(G(I), G(J)), S(G(J), G(I))$ 의 외부 에지들을 $2^{2n-k} \times 2^k$ 토러스 $\pi(G(I)G(J)), \pi(G(J)G(I))$ 로 사상했을 때 최대 연장이 될 경우는 위에서 언급한 토러스에서의 최대 거리에 의하여 $\pi(G(0), G(2^{n-1})), \pi(G(2^{n-1}), G(0))$ 의 노드와 같이 $|\pi(G(I)) - \pi(G(I'))|$ 와 $|\pi(G(J)) - \pi(G(J'))|$ 의 값이 각각 $G(2^{n-1})$ 일때 이다. 그러므로 토러스의 정의에 따라 행과 열의 각각

의 거리는 2^{n-1} 이 되며 이때의 두 노드의 거리는 2^n 이된다. 따라서 $HFN(n, n)$ 을 $2^{2n-k} \times 2^k$ 토러스에 임베딩하기 위해 필요한 연장은 2^n 이고 $2^{2n-k} \times 2^k$ 토러스의 노드 수 2^n 에 비해 하므로 $\alpha(N)$ 이 됨을 알수 있다($k \neq 2^n$).

4. 결 론

상호 연결망의 임베딩은 어떤 연결망이 다른 연결망에 포함 혹은 어떻게 연관되어 있는지를 알아보기 위해 어떤 특정한 연결망을 다른 연결망에 사상하는 것이다.

본 논문에서는 상호 연결망으로 널리 사용되고 있는 토러스를 $HFN(n, n)$ 에 연장을 3 과 밀집율 4로 임베딩 가능성을 분석했다. 이러한 토러스와 $HFN(n, n)$ 사이의 임베딩 결과는 토러스에서 이미 개발된 여러 가지 알고리즘을 $HFN(n, n)$ 에서 효율적으로 이용할 수 있음을 의미한다.

참고문헌

- [1] S. B. Akers and B. Krishnamurthy, "A Group-Theoretic Model for Symmetric Interconnection Network," IEEE Trans. Comput., Vol. 38, No. 4, pp. 555-565, 1989.
- [2] J. Bruck, R. Cypher and C.-R. Ho, "Wildcard Dimensions, Coding Theory and Fault-Tolerant Meshes and Hypercubes," IEEE Trans. on Computers, Vol. 44, No. 1, pp. 150-155, 1995.
- [3] A. El-Amawy and S. Latifi, "Properties and Performance of Folded Hypercubes," IEEE Trans. Parallel Distributed syst., Vol. 2, No. 1, pp.31-42, 1991
- [4] J. G. Peters and M. Syska, "Circuit-Switched Broadcasting in Torus Networks," IEEE Trans. Parallel Distributed syst., Vol. 7, No. 3, pp. 246-255, March 1996.
- [5] Y. Saad and M. H. Schultztz, "Topological Properties of Hypercubes," IEEE Trans. Comput., Vol.37, pp.867-872, 1988.
- [6] A. S. Vaidya, P. S. N. Rao and S. R. Shankar, "A Class of Hypercube-like Networks," Proc. of the 5th IEEE Symposium on Parallel and Distributed Processing, pp. 800-803, Dec. 1993.
- [7] A. Y. Wu, "Embedding of Tree Networks into Hypercubes," J. Parallel and Distributed Computing, Vol. 2, pp. 238-249, 1985.
- [8] S.-K. Yun and K.-H. Park, "Comments on 'Hierarchical Cubic Networks'," IEEE Trans. Parallel Distributed syst., Vol. 9, No. 4, pp. 410-414, 1998.
- [9] D. R. Duh, G. H. Chen, and J. F. Fang, "Algorithms and properties of a new two level network with folded hypercubes as basic modules," IEEE Transactions on Parallel and Distributed Systems, vol.6, no.7, pp.714-723, Jul. 1995.